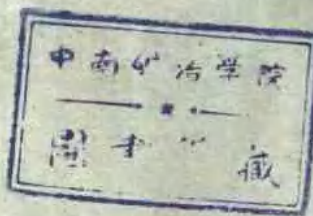


265721

电子数字计算机原理

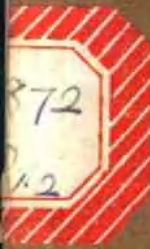
第二册

(试用教材)



北京大学计算机教研室

一九七二年十二月



目 录

第七章 运算器

第一节 加法器.....	1
第二节 运算器各部件之间的代码传送.....	20
第三节 浮点规舍加(减)法.....	29
第四节 浮点规舍乘法.....	35
第五节 浮点规舍除法.....	40
第六节 逻辑运算及其它指令.....	46
第七节 关于运算速度.....	53
习 题.....	59

第八章 控制器

第一节 指令和指令系统.....	64
第二节 地址的形成.....	79
第三节 变址和读写控制.....	89
第四节 控制方式.....	95
第五节 分配器和启停线路.....	109
第六节 典型指令的执行过程.....	112
第七节 操作时间表.....	114
习 题.....	132

第九章 并行控制和快速运算

第一节 概 述.....	137
第二节 存贮器多体并行交叉存贮.....	141
第三节 先行指令栈.....	150
第四节 先行读数栈。页面控制方法.....	160
第五节 并行工作的运算器。多累加寄存器结构.....	170
第六节 并行多位乘法部件.....	179
第七节 快速除法算法.....	192
第八节 多道程序与中断系统.....	201
附 录.....	211

第七章 运算器

运算器相当于一个算盘，它在控制器控制下完成算术运算（如定点、浮点“+”、“-”、“ \times ”、“ \div ”等）和逻辑运算（如逻辑乘“ \wedge ”、逻辑加“ \vee ”、按位加“ A_+ ”、大于比较“ $>$ ”、小于比较“ $<$ ”以及移位等）指令所给出的运算。

为了完成这些运算，运算器需要有寄存器来存放参与运算的数（如被加数、加数、被乘数、乘数等）和运算结果（如和、乘积、商等）。有的寄存器还要有移位功能。

在一般计算机中，“+”、“-”、“ \times ”、“ \div ”等算术运算都是化为定点加法完成的。因此，在运算器中还必须有加法器。在一些快速机器中，为了加快乘、除法的速度，有时还专门设有执行乘、除法的专用部件，如乘法器。

为了传送信息，在运算器中有时还专门设有传送信息代码的代码线。

在第六章，我们已经介绍了算术运算的算法。在本章，则主要是讨论这些算术运算和逻辑运算在运算器中是怎样实现的。为此，我们首先介绍运算器的加法器，其次介绍运算器其它部件的功能及其相互间的关系，并给出运算器的框图，再次，通过几条典型指令，介绍指令在运算器中的执行过程，最后，粗略地讨论一下关于运算器运算速度的一些问题。

第一节 加 法 器

在一般计算机中，“+”、“-”、“ \times ”、“ \div ”等算术运算都是化为定点加法在加法器中完成的。这样，加法器自然地成了影响运算速度的一个重要因素。因此，加法器的设计对于运算器来说是十分重要的。

在第六章，我们已经详细地讨论了定点并行加法（模 4 加法）。比如，设

$$[x]_{\text{补}} = 00.1010101, [y]_{\text{补}} = 00.0011101,$$

那么，当我们手算的时候，是用下面的算式来完成的：

$$\begin{array}{r} \overline{x_4} \\ [x]_{\text{补}} = 00.1010101 \\ \downarrow \\ [y]_{\text{补}} = 00.0011101 \\ \overline{y_4} \\ \hline 000 \quad 0111101 & \leftarrow \text{进位信号} \\ \downarrow & J_5 \\ \hline [x+y]_{\text{补}} = 00.1110010 & H_4 \end{array}$$

现在来分析算式中的任何一位，如小数点后的第4位，那么它的和数 H_4 是由 x_4 、 y_4 及低位传来的进位 J_5 所决定的。并且它产生进位 J_4 影响着 H_3 的形成。因此，加法器的每一位都是一个有三个输入端 (x_i , y_i , J_{i+1}) 和两个输出端 (H_i , J_i) 的逻辑网络。这个逻辑网络就是第三章所介绍的全加器（参阅图3.23）。将 $n+2$ 个全加器依次连接起来就构成 $n+2$ 位并行加法器（图7.1）。

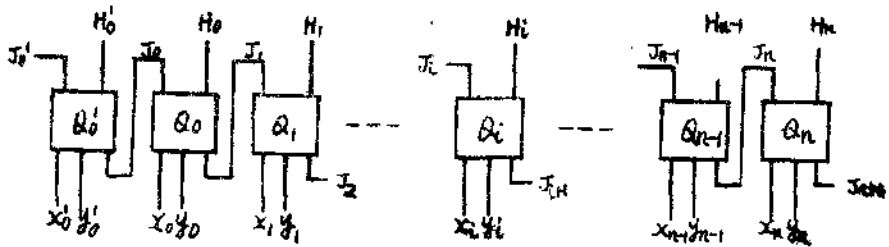


图7.1 加法器

在第三章已经给出了全加器的逻辑表达式，即：

$$\begin{cases} H_i = \bar{x}_i \bar{y}_i + \bar{x}_i y_i \bar{J}_{i+1} + x_i \bar{y}_i \bar{J}_{i+1} + x_i y_i J_{i+1} \\ J_i = \bar{x}_i y_i J_{i+1} + x_i \bar{y}_i J_{i+1} + x_i y_i \bar{J}_{i+1} + x_i y_i J_{i+1} \end{cases}$$

从上述公式可知，“和数” H_i 的形成除 x_i 、 y_i 以外还依赖于由低位传来的进位 J_{i+1} ，而进位 J_{i+1} 又依赖于更低位传来的进位 J_{i+2} ，从而对进位而言形成了一条串联的链，称之为进位链。串行进位链的存在严重地影响着加法器的工作速度，这是任何采用进位制编码的并行运算器都不可避免的问题。为了提高运算器的工作速度，下面我们有必要详细地分析一下进位链的性质。

一、进位链

1. 本地进位与传送进位

“分析的方法就是辩证的方法。所谓分析，就是分析事物的矛盾。”我们分析进位链的性质，也就是分析进位链内部所存在的矛盾。

将进位公式稍加变换，可以改写成下面形式：

$$J_i = x_i y_i + (x_i \oplus y_i) J_{i+1}.$$

式中“ $x_i \oplus y_i$ ”表示 x_i 、 y_i 之半和，即 $x_i \oplus y_i = \bar{x}_i y_i + x_i \bar{y}_i$ 。这个公式告诉我们：

(1) 进位可以分解为“ $x_i y_i$ ”和“($x_i \oplus y_i$) J_{i+1} ”这两部分。

(2) “ $x_i y_i$ ”这部分与低位传来的进位 J_{i+1} 是无关的，它仅仅取决于本位参加运算的两个数码 x_i 、 y_i ，因此，我们称“ $x_i y_i$ ”为*i*位产生的“本地进位”，记作 d_i 。

(3) “($x_i \oplus y_i$) J_{i+1} ”这部分则依赖于 J_{i+1} 。就是说，在第*i*位，如果 $x_i \oplus y_i = 1$ ，那么第*i*+1位产生的进位 J_{i+1} 将被传送到更高位去，并且每一位的“ $x_i \oplus y_i$ ”都能起到这样

的连通作用。所以，在第 i 位，如果 $x_i \oplus y_i = 1$ ，那么我们就称进位链在第 i 位被接通，或说进位能跳过第 i 位；如果 $x_i \oplus y_i = 0$ ，则第 i 位以后所产生的进位 J_{i+1}, J_{i+2}, \dots 都不能影响第 i 位以前的进位 J_{i-1}, J_{i-2}, \dots ，我们称进位链在第 i 位被打断。因此，我们称“ $(x_i \oplus y_i)J_{i+1}$ ”为第 i 位产生的传送进位，而“ $x_i \oplus y_i$ ”称为跳过条件(或传送条件)，记作“ t_i ”。这样，传送进位可以记作“ $t_i \cdot J_{i+1}$ ”

所以，用 d_i, t_i 代入进位公式，则可以改写成

$$J_i = d_i + t_i \cdot J_{i+1}$$

进位可以分解为本地进位和传送进位，是进位的基本性质，是我们所以能加快进位传送速度的客观依据。

为了简化设计，一般用 $t_i = x_i + y_i$ 来代替 $x_i \oplus y_i$ ，因为进位公式不难化简为

$$J_i = x_i y_i + (x_i + y_i) J_{i+1}.$$

2. 串行进位链

经过上述分析，我们可以把加法器的进位链部分画成图7.2

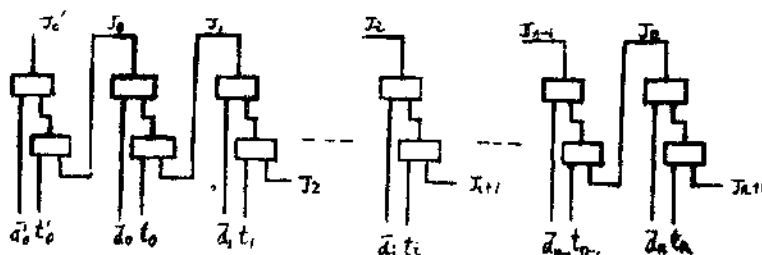


图7.2

从图 7.2 可见，每一位所产生的进位，是串联地联接在一起的。假设经过一级“与非”门需要延迟时间 t_y ，那么由 J_{i+1} 到 J_i 需要 $2t_y$ 时间，对于 $n+2$ 级加法器来说，需要 $2(n+1)t_y$ 才能形成 J_0 到 J_n 中所有的进位(因为一般说 J'_0 是没有用的)。假设 $n=39$ 则 $t_{\text{进}}=80t_y$ (图7.3)。

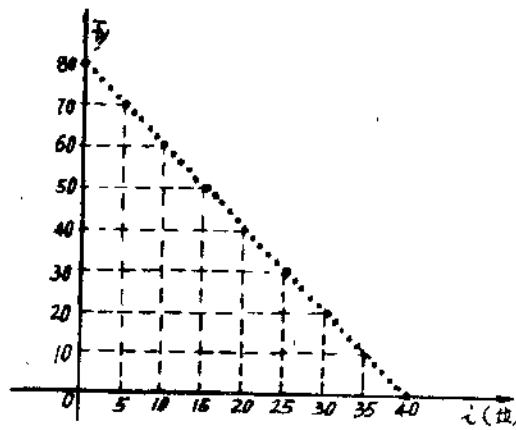


图7.3

把进位时间和用于其它操作的时间相比较，就会看出这个时间太长了。一次定点加法一般说需要经过下述步骤：

(1) 加数、被加数送入加法器：从寄存器将加数、被加数送入加法器，直到在加法器中

形成 d_i , t_i 这一部分时间一般需要 $5t_y$ 左右;

(2) 形成进位: 从 d_i , t_i 到产生进位 J_i , 如上所说需要 $2(n+1)t_y$, 若 $n=39$, 则需要 $80t_y$;

(3) 形成和数: 在加法器中形成和数, 一般需要 $2 \sim 3t_y$;

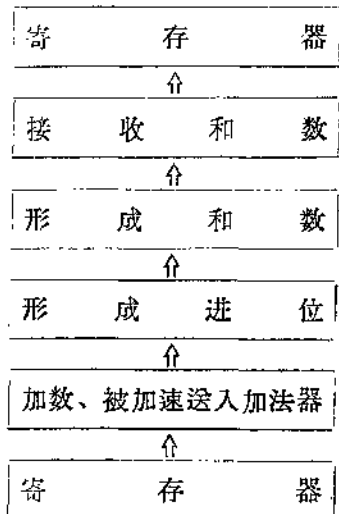
(4) 接收和数: 在加法器中产生和数后经控制线路送入寄存器直到寄存器稳定。一般说需 $10t_y$ 左右。

因此, 除进位时间外, 其余时间一般说不超过 $20t_y$ 。如果进位时间占 $80t_y$, 那么它将占定点加法时间 80% 以上, 即:

$$\frac{\text{进位时间}}{\text{定点加法总时间}} > 80\%$$

所以, 为了提高加法速度, 首先必须减少进位时间。

加快进位时间的方法概括地可分为两种: 一种是采用高速元件和高速线路, 另一种是用逻辑方法。下面我们主要讨论一种常用的逻辑方法: 分组跳跃进位(或称成组进位)法。



二、单重分組跳跃进位

1. 分组跳跃进位

为了寻求加快进位的逻辑方法, 我们进一步分析各个进位之间的关系。我们选取进位链中的一段(如第32~35位), 以分析进位之间的联系。

$$\begin{cases} J_{35} = d_{35} + t_{35}J_{36} \\ J_{34} = d_{34} + t_{34}J_{35} \\ J_{33} = d_{33} + t_{33}J_{34} \\ J_{32} = d_{32} + t_{32}J_{33} \end{cases}$$

由这几个公式可知, 进位公式之间存在着递推关系。任何一位所产生的进位 J_i , 通过 J_{i-1} , J_{i-2} , ... 而影响它前面进位的形成。对于这种递推公式, 在第三章(94页)曾介绍可以用展开法来压缩它的级数。上述公式可以展开成下列一组公式:

$$\begin{cases} J_{35} = d_{35} + t_{35}J_{36} \\ J_{34} = d_{34} + t_{34}d_{35} + t_{34}t_{35}J_{36} \\ J_{33} = d_{33} + t_{33}d_{34} + t_{33}t_{34}d_{35} + t_{33}t_{34}t_{35}J_{36} \\ J_{32} = d_{32} + t_{32}d_{33} + t_{32}t_{33}d_{34} + t_{32}t_{33}t_{34}d_{35} + t_{32}t_{33}t_{34}t_{35}J_{36} \end{cases}$$

由这一组公式, 我们更清楚地看到下列关系:

(1) 如果把这 4 位看做一个小组, 那么, 进入这小组的进位只有 J_{36} , 而由这小组送到高位的进位只需送出 J_{32} ;

(2) J_{36} 通过跳过条件 t_{35} , t_{34} , t_{33} , 而影响它前面几位进位的形成;

(3) 在小组内部, 每一位所产生的本地进位 d_i , 通过 t_{i-1} , t_{i-2} ..., 而影响它前面几位进位的形成。

按照这一组展开式，便可画出这个小组的进位线路（图7.4）。由图7.4可知，在 J_{36} 和 d_i 、 t_i 输入后，只需 $2.4t_y$ 就可以形成本小组的所有进位 ($J_{36}, J_{37}, J_{38}, J_{39}$)。

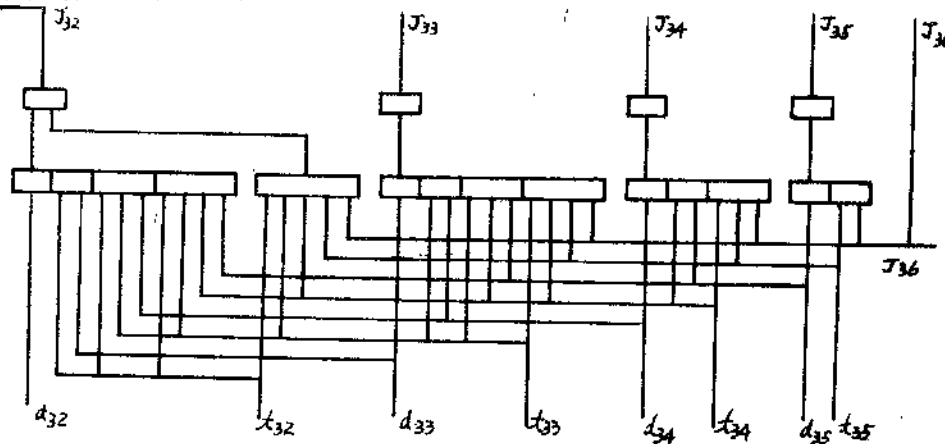


图7.4

根据这个原理，可以将40位的加法器分成10组。这样，从 d_i 、 t_i 、 J_{40} 都已产生时算起 ($t=0$)，经过 $2.4t_y$ 可以产生 $J_{36}, J_{37}, J_{38}, J_{39}$ ；再经 $2t_y$ ，产生 J_{32} ，而经 $2.4t_y$ ，产生 J_{33}, J_{34}, J_{35} ……依此类推。经 $18.8t_y$ ，就可产生 $J_{5,6}, J_7$ ；经 $20.4t_y$ ，就可以产生 J_0 ，经 $20.8t_y$ ，产生第一组的每位进位： J_1, J_2, J_3 。也即只需 $20.8t_y$ ，就产生了所有的进位（图7.5）。

上述方法我们称为分组跳跃进位的方法。

对于小组内来说，每位的进位是同时（并行）产生的，而小组之间则仍然是串行联接的。为和后面所介绍的多重分组跳跃进位相区别，我们也称之为单重分组跳跃进位。

2. 关于分组方法的讨论

上面介绍的分组方法是各小组包含的位数相同，每组都是4位。但是，分组的方法可以是多样的：

(1) 并不一定每组只包括4位，也可以是3位一组、5位一组等。至于怎样分组才合适，

这取决于机器的字长、元件的性能、对进位链速度的要求、允许使用于进位链部分的设备量等多种因素。一般说，每小组包括的位数多些，使用的元件就要多些，进位时间就要短些；反之，每小组包括的位数少些，使用的元件就会少些，但进位时间就要拖长。例如，如果每小组包含5位（如上例中增加第31位），则公式中就要增加

$$J_{31} = d_{31} + t_{31}d_{32} + t_{31}t_{32}d_{33} + t_{31}t_{32}t_{33}d_{34} + \\ + t_{31}t_{32}t_{33}t_{34}d_{35} + t_{31}t_{32}t_{33}t_{34}t_{35}J_{36}$$

由于多这一位，这一小组就要增加7个“与非”门。并且，由于出现 “ $t_{31}t_{32}t_{33}t_{34}t_{35}J_{36}$ ” 这个乘积项，就要求有6个输入头的“与非”门，否则，就要事先将 $t_{31}, t_{32}, t_{33}, t_{34}, t_{35}$ 中的几个合并在一起，当然这又需要增加设备。

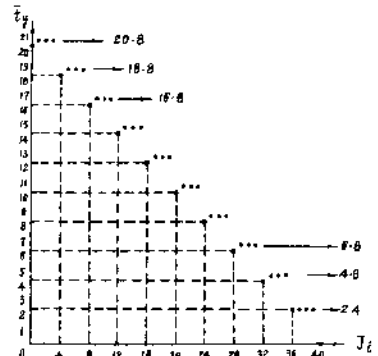


图7.5

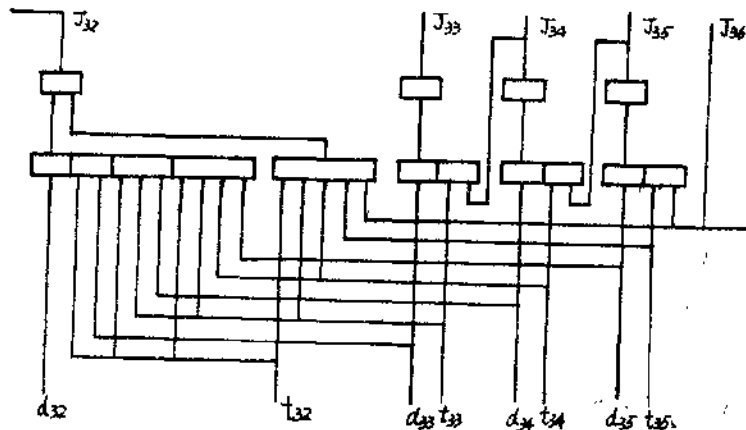


图7.6

(2) 由于组间采取串联的方法，所以并非所有小组组内都需要采取并行的方法，有些小组只需将进入上一组的那一位（如上例中的 J_{32} ）展开就可以了，其它位仍可采用串联的方法，这样就可以节约设备。仍以第9小组为例，公式可展开为：

$$\begin{cases} J_{35} = d_{35} + t_{35}J_{36} \\ J_{34} = d_{34} + t_{34}J_{35} \\ J_{33} = d_{33} + t_{33}J_{34} \\ J_{32} = d_{32} + t_{32}d_{33} + t_{32}t_{33}d_{34} + t_{32}t_{33}t_{34}d_{35} + t_{32}t_{33}t_{34}t_{35}J_{36} \end{cases}$$

图7.6就是上式的逻辑线路。

由进位与时间关系（图7.7）可知，如果除第1、2、3三小组用并行进位方法以外其它各组都采用图7.6的进位方法，那么仍可在 $20.8t_y$ 时间内产生所有的进位。不难看出，如果全采用图7.6的进位方法，只需再延长 $4.8t_y$ 就能产生所有的进位。

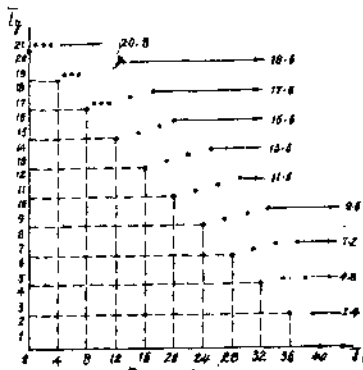


图7.7

(3) 每小组所包含的位数也不一定是相等的，也就是既可以按等长分组（每组位数相同），又可以按不等长分组（每组位数不同）。这一点我们就不详细讨论了。

三、多重分组跳跃进位

1. 小组编成大组的方法

用单重分组跳跃进位的方法虽然已将进位时间压缩到原来的 $1/3$ — $1/4$ ，但对于速度较快的机器来说，仍然是不够的，为了进一步加快进位的传送速度，对于已经分成了小组的进位链，我们再做进一步的分析。

首先来分析由第9小组产生的进位 J_{32} ：

$$J_{32} = d_{32} + t_{32}d_{33} + t_{32}t_{33}d_{34} + t_{32}t_{33}t_{34}d_{35} + t_{32}t_{33}t_{34}t_{35}J_{36}$$

在组成 J_{32} 的5个乘积项中，只有最后一项“ $t_{32}t_{33}t_{34}t_{35}J_{36}$ ”才依赖于下一小组（即第10组）所产生的进位 J_{36} 。因此，我们仍可仿照分析每一位进位的方法，把每小组产生的进位也分成两部分：“ $d_{32} + t_{32}d_{33} + t_{32}t_{33}d_{34} + t_{32}t_{33}t_{34}d_{35}$ ”这部分不依赖于下一小组送来的进位 J_{36} ，称为第9小组的本地进位，记作 D_9 ；“ $t_{32}t_{33}t_{34}t_{35}J_{36}$ ”这部分依赖于下一小组送来的进位，称为第9小组的传送进位，而“ $t_{32}t_{33}t_{34}t_{35}$ ”是进位 J_{36} 跳过第9小组的条件，记作 T_9 。这样第9小组产生的传送进位可记作“ $T_9 J_{36}$ ”， J_{32} 的表达式可以写为

$$J_{32} = D_9 + T_9 J_{36}.$$

仿此，可以将各小组产生的小组进位都写成这样的形式：

$$J_{36} = D_{10} + T_{10} J_{40}$$

$$J_{32} = D_9 + T_9 J_{36}$$

$$J_{28} = D_8 + T_8 J_{32}$$

.....

$$J_4 = D_2 + T_2 J_8$$

$$J_0 = D_1 + T_1 J_4$$

这样就又出现一组递归表达式。按照组内加快进位的方法，再将其中几个小组编成一个大组（如将第6—9组编成一大组），并再把它们的表达式展开：

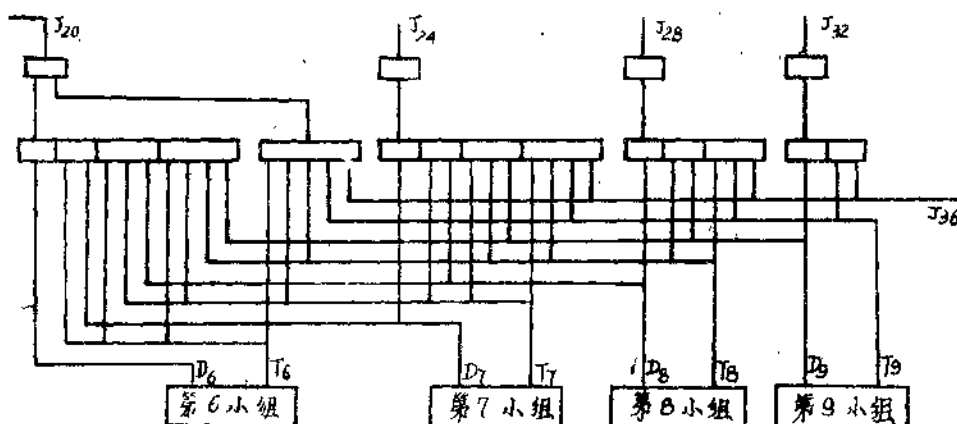


图7.8

$$\begin{cases} J_{32} = D_9 + T_9 J_{36} \\ J_{28} = D_8 + T_8 D_9 + T_8 T_9 J_{36} \\ J_{24} = D_7 + T_7 D_8 + T_7 T_8 D_9 + T_7 T_8 T_9 J_{36} \\ J_{20} = D_6 + T_6 D_7 + T_6 T_7 D_8 + T_6 T_7 T_8 D_9 + T_6 T_7 T_8 T_9 J_{36} \end{cases}$$

对比小组组内进位公式可知，这个大组的进位线路（图7.8）和小组组内进位线路（图7.4）是完全一样的。

2. D_i , T_i 的产生

为了在大组内形成进位，需要每个小组事先产生小组本地进位 D_i 和小组跳过条件 T_i 。因此，图7.4的组内进位线路应做适当修改。

仍以第9小组为例，这时不再需要产生 J_{32} ，而要将产生 J_{32} 的线路改成产生小组本地进位 D_9 和跳过条件 T_9 。

由上面分析，我们知道

$$\begin{cases} D_9 = d_{32} + t_{32}d_{33} + t_{32}t_{33}d_{34} + t_{32}t_{33}t_{34}d_{35} \\ T_9 = t_{32}t_{33}t_{34}t_{35} \end{cases}$$

所以稍加修改就得到产生 D_9 和 T_9 的线路（图7.9）。

3. 双重分组的进位链结构

上面我们已将第6—9小组编成一个大组，如果我们再将第2—5小组编成一个大组，那么我们就能得到一个41位加法器的快速进位链。

图7.10是这个进位链的框图。

在图7.10中，第2—9小组都需产生 D_i 和 T_i ，因此要用能产生 D_i 和 T_i 的小组进位线路（即将图7.4按图7.9加以修改）。而第1和第10两小组需产生 J_0 和 J_{36} ，所以要用图7.4那样的小组进位线路。

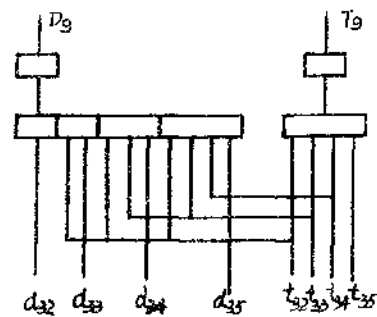


图7.9

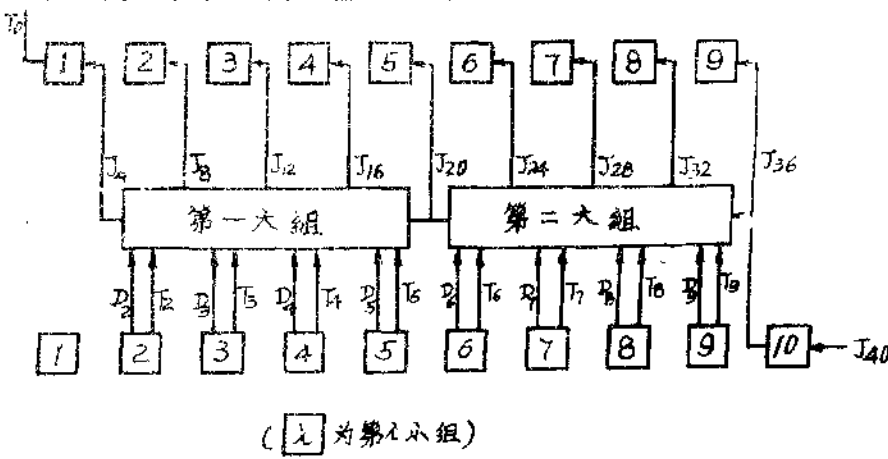


图7.10

这样的进位链，假设从 d_i , t_i , J_{40} 已经产生时算起 ($t=0$)，那么，经过 $2.4t$ ，产生的有：

第10组的 J_{36} , J_{37} , J_{38} , J_{39} 及所有的 D_i 和 T_i ；

经过 $4.8t$ ，产生的有：

J_{20} , J_{24} , J_{28} , J_{32} 及第9组的 J_{33} , J_{34} , J_{35} ；

经过 $7.2t$ ，产生的有：

J_4 , J_8 , J_{12} , J_{16} ，及第5组至第8组中 (J_{17} 至 J_{31}) 所有的进位；

经过 $9.6t$ ，产生的有 J_1 , J_2 , J_3 。经 $9.6t$ ，产生第2组至第5组中 (J_5 至 J_{15}) 所有进位（图7.11）。

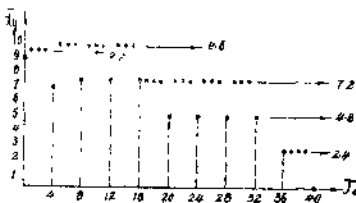


图7.11

上述分组方法仅仅是一个例子。和划分小组类似，大组的划分方法也是多种多样的。此外，也不一定只是双重分组，还可以是三重的。每大组内包含的小组个数也不一定是相等的。至于怎样划分大组才合适，这也取决于机器的字长、元件的性能、对进位链速度的要求、允许使用的设备量等多种因素。

四、加法器接收数及产生和数的方法

对于加法器来说，除了进位链以外，还有两个重要部分，即：(1) 加数和被加数送入加法器并产生 d_i 和 t_i ；(2) 产生和数。这两者是相互联系的，在产生 d_i , t_i 时要充分考虑便于形成和数；在产生和数时要充分利用产生 d_i 和 t_i 的线路。

1. 加法器接收数的线路

一般说，数总是在寄存器中存放的。对于不同操作，参与运算的两个数往往是不相同的。如加法器的尾数部分，有时要做 $L_s + C_s$ ，有时要做 $L_s - \bar{C}_s$ ，而乘法（两位一乘）时还要做 $L_s + 2C_s$ 等。机器的设计要求不同，送入加法器的加数和被加数也不相同。假设只考虑在加法器尾数部分中做 $L_s + C_s$, $L_s - \bar{C}_s$, $L_s + 2C_s$ 三种运算，那么加法器的 x 端只接收 L_s ，而 y 端则有时要接收 C_s ，有时要接收 \bar{C}_s ，有时要接收 $2C_s$ 。为了控制在不同的情况下送入不同的数，在控制器要产生 $L_s \rightarrow Q_s$ (L寄存器的尾数部分送入加法器的尾数部分), $C_s \rightarrow Q_s$, $\bar{C}_s \rightarrow Q_s$, $2C_s \rightarrow Q_s$ 等控制电位。图7.12是全加器 Q_{20} 接收数的线路。

当进行 $L_s + C_s$ 时, $L_s \rightarrow Q_s$, $C_s \rightarrow Q_s$ 两控制电位为高电位, 而 $\bar{C}_s \rightarrow Q_s$, $2C_s \rightarrow Q_s$ 都是低电位, 这样 $x_{20} = L_{20}$, $y_{20} = C_{20}$. 当进行 $L_s - C_s$ 时, $L_s \rightarrow Q_s$, $\bar{C}_s \rightarrow Q_s$ 是高电位, 而 $C_s \rightarrow Q_s$, $2C_s \rightarrow Q_s$ 是低电位; 这样 $x_{20} = L_{20}$, $y_{20} = \bar{C}_{20}$. 当进行 $L_s + 2C_s$ 时, $L_s \rightarrow Q_s$ 和 $2C_s \rightarrow Q_s$ 是高电位, 而 $C_s \rightarrow Q_s$, $\bar{C}_s \rightarrow Q_s$ 是低电位, 这样 $x_{20} = L_{20}$, 而 $y_{20} = C_{21}$. 在加法器尾数部分不工作时, $L_s \rightarrow Q_s$, $C_s \rightarrow Q_s$, $\bar{C}_s \rightarrow Q_s$, $2C_s \rightarrow Q_s$ 都是低电位, 这时 $x_{20} = 0$, $y_{20} = 0$. 实际上, 在一些较复杂的机器中, 由于指令较多, 接收门还要复杂些。

用“与非”门、“与或非”门做为接收门来接收数, 进入加法器的数一般是 x_i 和 y_i , 这是我们在形成 d_i 和 t_i 时必须考虑的。因此, 一般用图7.12的线路来形成 d_i 和 t_i .

2. 和数的产生

在第三章中我们已经介绍了几种产生和数的方法。在实际线路中, 由于加速进位的需要, 所以一般都先产生 d_i 和 t_i . 此外, 由于控制线路的需要(如判断整个和数是否为全“0”等), 有时先产生 H_i 比先产生和数 H_i 反而方便些。

因此, 在实际机器中, 往往采用下列方法产生和数。

(1) 两次半加法。设 h_i 为 x_i 、 y_i 之半和, 则

$$h_i = \bar{x}_i y_i + x_i \bar{y}_i = (\bar{x}_i + \bar{y}_i)(x_i + y_i) = \bar{x}_i \bar{y}_i (x_i + y_i) = \bar{d}_i t_i.$$

所以, 利用 d_i , t_i , 很容易产生 h_i .

第二次半和 $H_i = h_i \bar{J}_{i+1} + \bar{h}_i J_{i+1}$ 仍可利用一个半加器得出。

图7.13是两次半加法的4种求和线路。

在(a)图中, 进位线路提供的是 J_{i+1} , 要求产生和数 H_i . 这时, d_i 经 YF_1 产生 \bar{d}_i , d_i 、 t_i 经 YF_2 而产生 \bar{h}_i , \bar{h}_i 和 J_{i+1} 经半加器而产生 H_i :

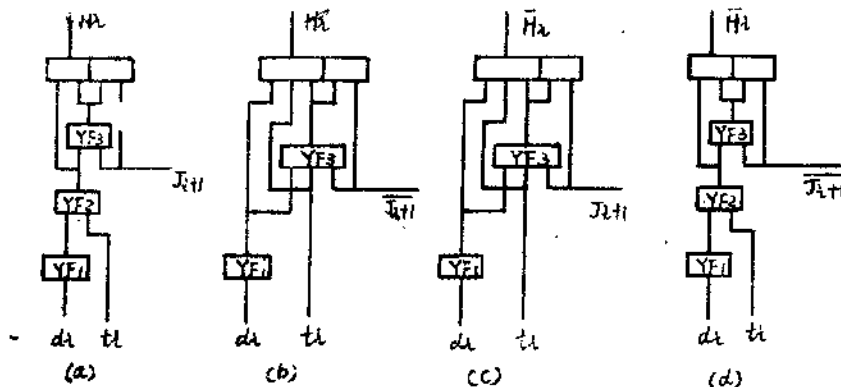


图7.13

$$H_i = \bar{h}_i \bar{J}_{i+1} + h_i J_{i+1} = (\bar{h}_i + \bar{J}_{i+1})(h_i + J_{i+1}) \bar{J}_{i+1} = \bar{h}_i J_{i+1} (\bar{h}_i + J_{i+1})$$

在图(b)中, 进位线路提供的是 \bar{J}_{i+1} , 要求产生和数 H_i , 这时, 还可以省去图(a)的 YF_2 而直接用 $\bar{d}_i \cdot t_i$ 代替 h_i 。

在图(c)中, 进位线路提供的是 J_{i+1} , 要求产生 \bar{H}_i , 在图(d)中, 进位线路提供的是 \bar{J}_{i+1} , 要求产生 \bar{H}_i , 其原理都和图(a)相同, 不再详细叙述。

(2) 利用向高位的进位产生和数。

在第三章曾介绍了利用向高位的进位产生和数的方法。即

$$H_i = \bar{J}_i (x_i + y_i + J_{i+1}) + x_i y_i J_{i+1}$$

$$\bar{H}_i = J_i (\bar{x}_i + \bar{y}_i + \bar{J}_{i+1}) + \bar{x}_i \bar{y}_i \bar{J}_{i+1}$$

利用 $d_i = x_i y_i$, $t_i = x_i + y_i$, 上式可改写为:

$$H_i = \overline{\bar{J}_i (x_i + y_i + J_{i+1}) + x_i y_i J_{i+1}} \\ = \bar{J}_i t_i + \bar{J}_i J_{i+1} + d_i J_{i+1} \quad (\text{图7.14a})$$

$$H_i = \overline{J_i (\bar{x}_i + \bar{y}_i + \bar{J}_{i+1}) + \bar{x}_i \bar{y}_i \bar{J}_{i+1}}$$

或 $H_i = \overline{J_i (x_i y_i + \bar{J}_{i+1}) + \bar{x}_i \bar{y}_i \cdot \bar{J}_{i+1}} \\ = \bar{J}_i \bar{d}_i + \bar{J}_i \bar{J}_{i+1} + \bar{x}_i \bar{y}_i \bar{J}_{i+1} \quad (\text{图7.14b})$

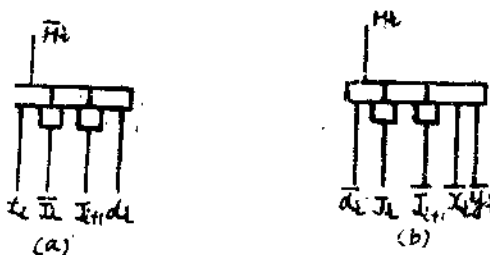


图7.14

五、加法器设计实例

例1. 利用两次半加产生和数的加法器

图7.15是小组进位线路和求和线路, 共41位, 分成10小组, 每4位为一小组。本图标号是第9小组, 第2—8小组组内线路与第9组相同, 第1组和第10组不产生 D_i 、 T_i 而产生 J_0 和 J_{36} (参考图7.4的 J_{32})。其组间进位线路如图7.8和图7.10。为了节约元件, 求和线路采取图7.13(b), 即用 $\bar{d}_i \cdot t_i$ 代替 h_i , 而 \bar{d}_i 与进位中的一项共同使用一个“与非”门。

在本例中, 假设字长为40位, 那么从 x_i , y_i , J_{40} 输入算起到形成 H_i 共需 $11.6t_y$ (如果组间进位部分全改为“单与非”门则为 $10.8t_y$)。按“单与非”门计算10个小组共需元件410个, 组间部分共需36个, 合计446个, 平均每位为11.2个。

例2. 利用向高位进位求和线路的加法器

本例见图7.16, 本例字长、分组情况与上例均相同, 不同的是, 为便于产生控制电位而形成 \bar{H}_i , 产生和数时利用了向高位的进位。本例自 x_i , y_i , J_{40} 输入到 \bar{H}_i 形成共需 $12.4t_y$ (如果将 d_i 改为输出 x_i 和 y_i , 产生 D_i 的“与或非”门改为“单与非”门, 组间进位部分也改为“单与非”门, 则同样可降至 $10.8t_y$)。

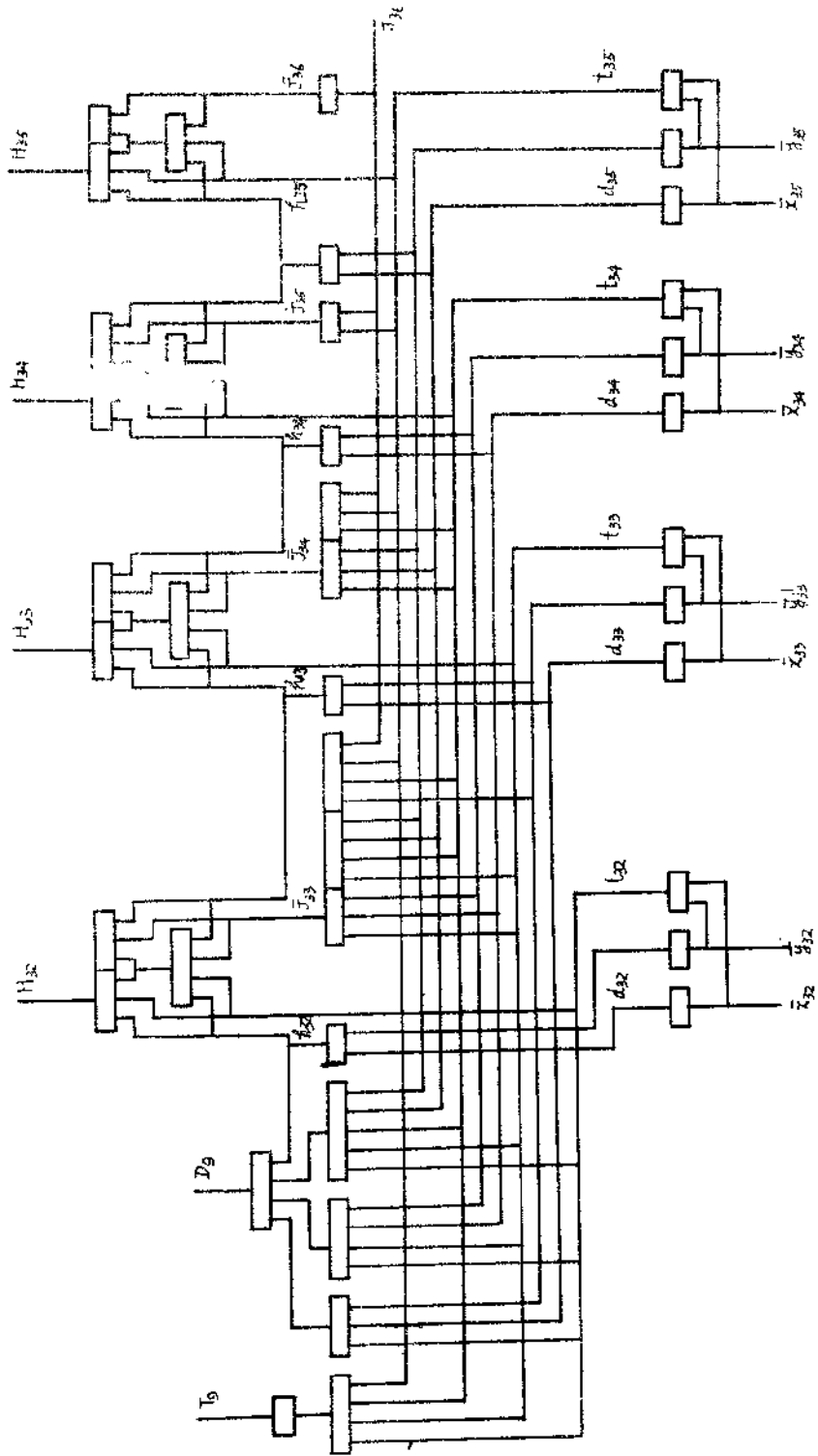


图7.15

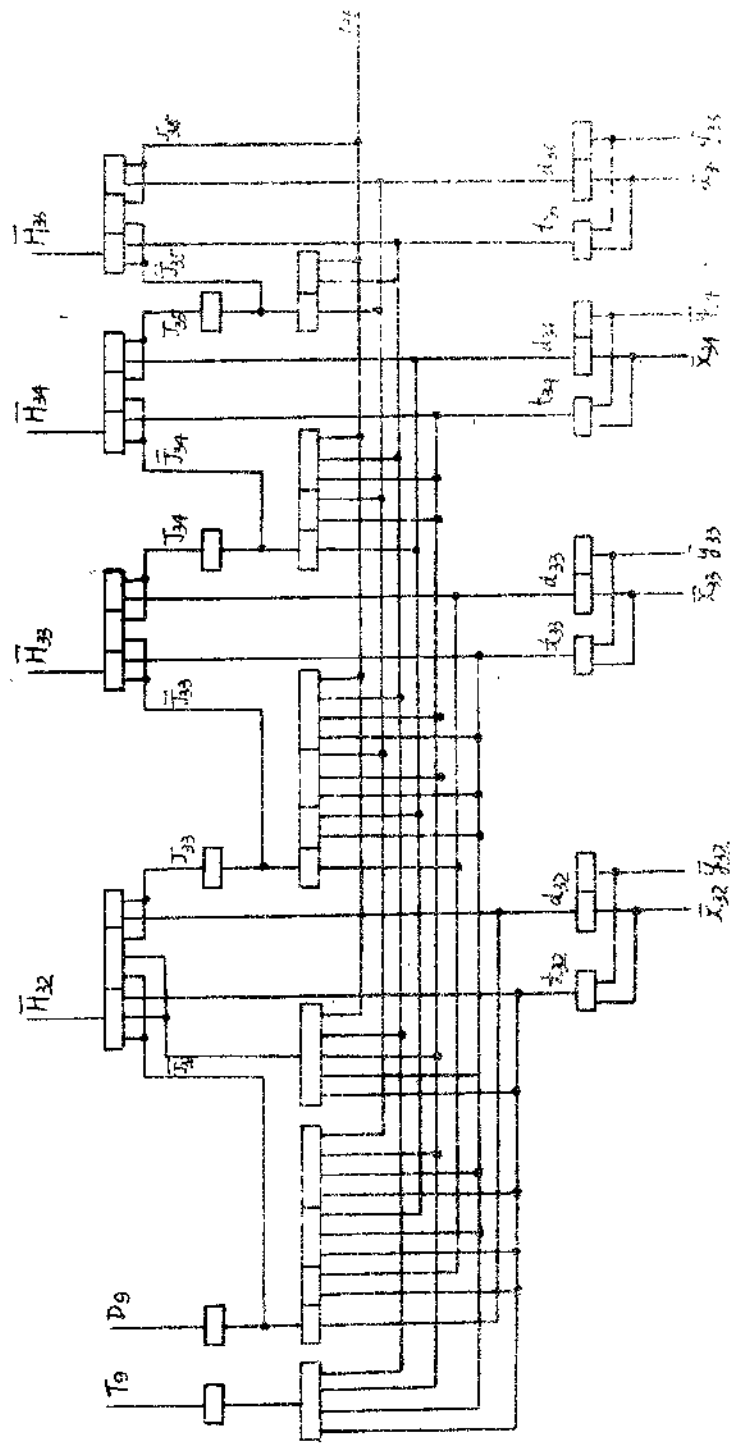


图7.16

按“单与非门”计算，本例每小组共使用元件44个，组间进位部分和上例相同，共用36个，合计476个，平均每位为11.9个。

例3. 快速加法器

下面介绍一种快速加法器。

所介绍的这种加法器字长为44位，每4位分成1小组，共分为11小组，其分组情况如图(7.17)。

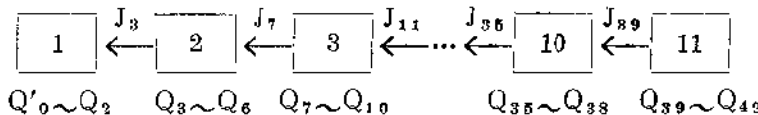


图7.17

这种快速加法器和前面两例有几个重要的区别：

(1) 它具有快速进位线路，自 x_i, y_i 输入到产生 H_i 只需 $7.2t_y$ 。所以能达到高速度，是和它的分组方法有关。它不再分为两个大组，而是把11个小组看成是一个大组。

根据前面的讨论，如果把11个小组看成是一个大组，那么 J_3 的表达式要多达10项，而且有的乘积项的因子多达10个：

$$J_3 = D_2 + T_2 D_3 + T_2 T_3 D_4 + \dots + T_2 T_3 T_4 T_5 T_6 T_7 T_8 T_9 T_{10} D_{11}$$

为了使用只有少量输入头的元件（假定“与非”门输入头不超过5个，“与或非”门不超过“5与或非”门）实现这个快速线路，就要设法减少项数并减少每个乘积项的因子个数。

首先，能不能减少项呢？我们先看头两项。

头两项 $D_2 + T_2 D_3$ 就能用下面方法合併为一项：

$$D_2 + T_2 D_3 = (D_2 + T_2)(D_2 + D_3) = \overline{D_2 T_2} \cdot \overline{D_2 D_3}$$

在第2小组和第3小组中，由图7.9可知， $\bar{D}_2, \bar{T}_2, \bar{D}_3$ 都已经和组内进位同时产生了，而且比 D_2, T_2 要早 t_y 的时间，因此 $\overline{D_2 T_2} \cdot \overline{D_2 D_3}$ 可以和 D_2, T_2, D_3, T_3 同时产生，这样我们可以用 $\overline{D_2 T_2} \cdot \overline{D_2 D_3}$ 来代替 $D_2 + T_2 D_3$ ，从而减少了一项。

实际上， $\overline{D_2 T_2} \cdot \overline{D_2 D_3} = D_2 + T_2 D_3$ 可以看做是2、3两小组所组成的一个中组的本地进位，因此，为了书写方便，我们用 $D_2 \sim_3$ 表示 $\overline{D_2 T_2} \cdot \overline{D_2 D_3}$ 。

仿照这样的方法， J_3 的第3、4两项也可以合併，因为

$$T_2 T_3 D_4 + T_2 T_3 T_4 D_5 = T_2 T_3 (D_4 + T_4 D_5)$$

提出公因子 $T_2 \cdot T_3$ 后余下部分也可表为两因子的乘积，即 $\overline{D_4 T_4} \cdot \overline{D_4 D_5}$ ，同理我们把它看做是4、5两小组所组成的一个中组的本地进位，记作 $D_4 \sim_5$ 。依此类推，每两小组都产生一个它们的本地进位：

$$D_2 \sim_3 = \overline{D_2 T_2} \cdot \overline{D_2 D_3}$$

$$D_4 \sim_5 = \overline{D_4 T_4} \cdot \overline{D_4 D_5}$$

$$D_6 \sim_7 = \overline{D_6 T_6} \cdot \overline{D_6 D_7}$$

$$D_{8 \sim 9} = \overline{D_8 T_8} + \overline{D_8 D_9}$$

$$D_{10 \sim 11} = \overline{D_{10} T_{10}} + \overline{D_{10} D_{11}}$$

这样， J_3 的表达式就可以压缩为5项：

$$\begin{aligned} J_3 = & D_{2 \sim 3} + T_2 T_3 D_{4 \sim 5} + T_2 T_3 T_4 T_5 D_{6 \sim 7} + T_2 T_3 T_4 T_5 T_6 T_7 D_{8 \sim 9} \\ & + T_2 T_3 T_4 T_5 T_6 T_7 T_8 D_{10 \sim 11} \end{aligned}$$

但是，它的乘积项最多的仍包含有10个因子（ $D_{10 \sim 11}$ 应看做是两个因子）。

为了减少每个乘积项所包含的因子，我们采取了先产生 T_i 的乘积项的办法，从图7.9可知， \bar{T}_i 比 T_i 要早一级产生，因此，我们用一个“4与或非”门就可以在产生 D_i 的同时产生一个 T_i 的乘积项（如 $T_2 T_3 T_4 T_5$ 或 $T_6 T_7 T_8 T_9$ ）。

图7.18是用“4与或非”门产生的 $T_6 T_7 T_8 T_9$ ，实际上它可以看做是进位跳过第6~9组的跳过条件，因此，我们用 $T_{6 \sim 9}$ 来表示 $T_6 T_7 T_8 T_9$ 。仿此，可以产生 $T_{2 \sim 5}$ 和 $T_{10 \sim 11}$ 等。

从而， J_3 的表达式可写成下面形式：

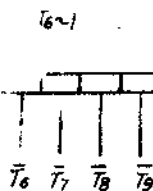


图7.18

$$\begin{aligned} J_3 = & D_{2 \sim 3} + T_2 T_3 D_{4 \sim 5} + T_{2 \sim 5} D_{6 \sim 7} + T_{2 \sim 5} T_{6 \sim 7} D_{8 \sim 9} \\ & + T_{2 \sim 5} T_{6 \sim 9} D_{10 \sim 11} \end{aligned}$$

依此类推， $J_7, J_{11}, J_{15}, \dots$ 的表达式分别为：

$$\begin{aligned} J_7 = & D_3 + T_3 D_{4 \sim 5} + T_{3 \sim 5} D_{6 \sim 7} + T_{3 \sim 5} T_{6 \sim 7} D_{8 \sim 9} \\ & + T_{3 \sim 5} T_{6 \sim 9} D_{10 \sim 11} \end{aligned}$$

$$J_{11} = D_4 \sim 5 + T_4 \sim 5 D_{6 \sim 7} + T_{4 \sim 5} T_{6 \sim 7} D_{8 \sim 9} + T_{4 \sim 5} T_{6 \sim 9} D_{10 \sim 11}$$

$$J_{15} = D_5 + T_5 D_{6 \sim 7} + T_5 T_{6 \sim 7} D_{8 \sim 9} + T_5 T_{6 \sim 9} D_{10 \sim 11}$$

$$J_{19} = D_{6 \sim 7} + T_{6 \sim 7} D_{8 \sim 9} + T_{6 \sim 9} D_{10 \sim 11}$$

$$J_{23} = D_7 + T_7 D_{8 \sim 9} + T_7 T_{8 \sim 9} D_{10 \sim 11}$$

$$J_{27} = D_{8 \sim 9} + T_{8 \sim 9} D_{10 \sim 11}$$

$$J_{31} = D_9 + T_9 D_{10 \sim 11}$$

$$J_{35} = D_{10 \sim 11}$$

$$J_{39} = D_{11}$$

图7.20(a)(b)就是组间进位线路，在图20(b)中，为了使 $D_{10 \sim 11}$ 不超过8个负载（在本书快速线路中，我们总是假定负载不超过8个），所以产生 J_{35} 时用 $D_{10} + T_{10} D_{11}$ 来代替 $D_{10 \sim 11}$ 。

(2) 它具有快速产生和数的线路。

在前两例中，当组间进位产生以后，总是要先回到小组与组内产生的进位汇合后再形成和数，这样就至少要占用 $2.4\bar{i}\bar{y}$ 的时间，在本例则省去了这部分时间。

图7.19是本例第9小组的组内进位线路和产生和数的线路。以 H_{31} 为例， H_{31} 由 x_{31} ，